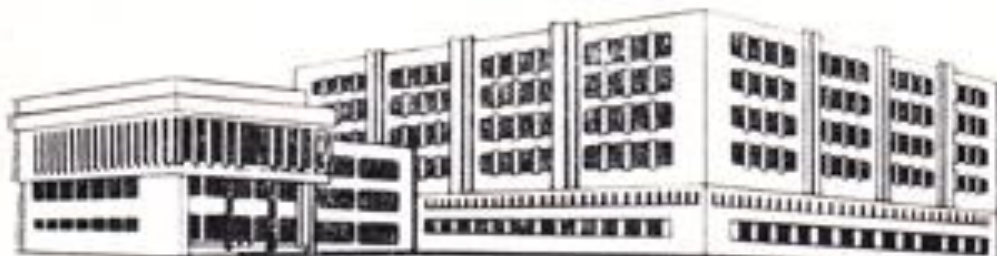


АКАДЕМИЯ НАУК УЗБЕКСКОЙ ССР



ИНСТИТУТ ЭЛЕКТРОНИКИ

им. У.А. Арифова

Препринт № 33

Т. Д. Раджабов, С. А. Зуфаров, А. С. Багдасарян,
Р. Н. Нигматов, Л. М. Хасанова

МОДИФИКАЦИЯ МЕХАНИЧЕСКИХ И
ФУНКЦИОНАЛЬНЫХ СВОЙСТВ СТАЛЬНЫХ
СТОМАТОЛОГИЧЕСКИХ БОРОВ
ИОННОЙ ИМПЛАНТАЦИЕЙ

Ташкент

АКАДЕМИЯ НАУК УЗССР
ИНСТИТУТ ЭЛЕКТРОНИКИ ИМ. У. А. АРИФОВА

Препринт № 33

Т.Д. Раджабов, С.А. Зуфаров, А.С. Багдасарян,
Р.И. Нигматов, Л.М. Хасанова

ИЗМЕНЕНИЕ МЕХАНИЧЕСКИХ И ФУНКЦИОНАЛЬНЫХ СВОЙСТВ
СТАЛЬНЫХ СТОЛАТОМОГИЧЕСКИХ БОРОВ ИОННОЙ ИМПЛАНТАЦИЕЙ

Ташкент - 1990

УК 621.785.53.

Проведены исследования по улучшению основных трибологических и функциональных свойств стальных стоматологических боров путем обработки их рабочей поверхности методом ионной имплантации.

Определен оптимальный режим ионной имплантации (аргона и азота) для получения максимально положительного результата по повышению микротвердости, износо- и коррозионной стойкости, а также функциональных свойств (производительности, режущей способности и др.) стоматологических стальных боров. Характер этих изменений зависит от энергии и дозы облучения ионами аргона, азота и от последовательности их облучения.

Radjabov T.D., Zufarov S.A., Bagdasaryan A.S., Nigmatov R.N.
and Khassanova L.M.

MODIFICATION OF MECHANICAL AND FUNCTIONAL PROPERTIES
OF STEEL DENTAL DRILLS BY ION IMPLANTATION

Studies on improvement of the main tribological and functional properties of steel dental drills by treatment of their working surface with ion implantation have been carried out.

The optimum modes of (Ar and N) ion implantation are determined to improve microhardness, wear- and corrosion resistance as well as the functional properties (productivity, cutting ability etc.) of dental steel drills. The character of these changes depends on the irradiation energy and dose of Ar and N ions as well as the sequence of their implantation.

Рукопись поступила в редакцию
ИЭ АН УзССР 25.05.90 г.

Введение

В настоящее время широко используются возможности применения ионной имплантации как метода, позволяющего модифицировать поверхностные физико-химические свойства изделий в ряде отраслей промышленности /1,2/, в частности, в стоматологии /3/. Среди выпускаемых медицинской промышленностью стоматологических инструментов существенную часть составляют стоматологические боры, изготовленные как из упрочненных сталей (хром-ванадиевые, типа ХВ-5), так и из твердосплавных, вольфрамсодержащих материалов (сплавы типа ВМ). Однако из-за сложности изготовления и дороговизны выпуск твердо сплавных боров весьма ограничен. Более того, этого вопроса повышения эксплуатационных и функциональных свойств стальных боров является актуальным. Кроме того, использование износостойких боров с высокими режущими свойствами в клинической стоматологии позволяет значительно снизить побочное воздействие процесса препарирования на обрабатываемые зубы и окружающие ткани /4,5/.

Упрочнение поверхностных слоев конструкционных металлов ионной имплантацией азота /6-8/ определяется как концентрацией внедренного в металл азота, так и природой их химического взаимодействия. Важную роль при этом играет процесс нитридообразования. Для повышения концентрации азота в металле при имплантации ряд исследователей /9,10/ применили предварительную активацию поверхности металла ионами инертных газов, например, Ne^+ или Ar^+ . Нами /11/ также было показано, что имплантация титана ионами смеси газов азот-argon в 1,5-2 раза повышает механические свойства титана, получаемые имплантацией просто азота.

В настоящей работе приведены результаты исследований по упрочнению стоматологических боров ионной имплантацией азота с предварительной активацией их поверхности ионами аргона.

- 3 -

I. Методика исследований

Исследования проводились на стальных (ХВ-5) и твердосплавных (ХС-6М) борах с различной геометрией режущих кромок (рис. 1). При этом твердосплавные боры использовались только для сравнительных испытаний. Ионная имплантация проводилась на установке "Балуин-2" при энергиях ионов до $E=120$ кэВ и плотности тока пучка $J=2 \text{ мА}/\text{см}^2$. Длительность остаточных газов в рабочей камере при облучении $t=5 \cdot 10^{-3}$ Па. Для сопоставления были использованы стальные боры, которые имели на поверхности покрытие из нитрида титана, полученное вакуумно-дуговым методом, с толщиной покрытия $1-3 \text{ мкм}$.

Микротвердость боров исследовалась на приборе ДМТ-3, износостойкость — путем сверления отверстий в стальной пластине, коррозионная стойкость — поддержкой в растворе 10% КМЛ, широковатность поверхности бора и препарированного зуба — на профилографе Н210.

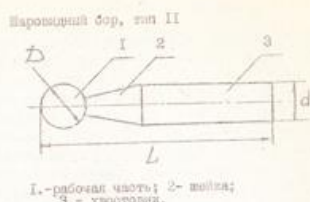
Клинические и медико-технические исследования были посвящены изучению производительности боров, динамики нарезки твердой ткани зуба в процессе препарирования, микроструктура и микротекстура обработанной поверхности бора и препарированного зуба, влияния препарирования модифицированными борами на чувствительность зубов и образование в них трещин.

2. Механические свойства

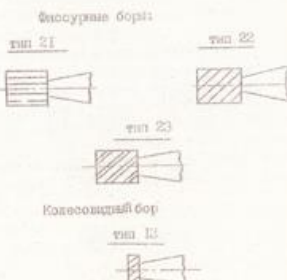
2.1. Микротвердость

Проведены исследования микротвердости поверхносчных слоев боров, подвергнутых ионной модификации, в зависимости от параметров ионного облучения. Так, с ростом энергии ионов азота до $E=50$ кэВ микротвердость поверхности возрастает в 1,3-1,8 раза, но затем начинает снижаться. С ростом дозы облучения поверхностная микротвердость возрастает вплоть до $E=10^{13} \text{ см}^{-2}$ и далее практически не изменяется. Полученные результаты несколько отличаются от результатов работ /12,13/, где показано, что прирост микротвердости практически прекращается на стали при $E > 30$ кэВ /7/ и

- 4 -



Наружный бор, тип II



Фасонные боры:

тип 21

тип 22

тип 23

Колесовидный бор

тип III

Рис. 1. Типы зубных боров

- 5 -

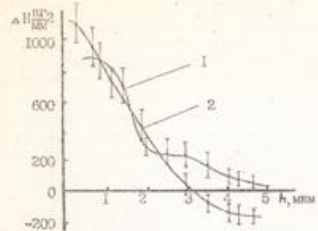


Рис. 2. Изменение микротвердости $\text{aHv}_{0.05} - \text{H}_0$ имплантированных боров (1) и боров с покрытием TiN (2) от глубины внедрения индентора.

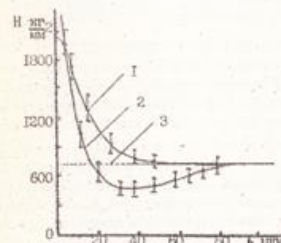


Рис. 3. Изменение микротвердости на косях шлифов для имплантированных боров (1), боров с покрытием TiN (2), необлученных боров (3)

- 6 -

$D > 10^{17} \text{ см}^2$ на титане /12/ и на алюминии /13/. Такое снижение параметров ионной обработки, при которых изменение поверхностной микротвердости прекращается, определяется активацией поверхности ионами аргона, когда, согласно /9,10/ происходит насыщение поверхностных слоев азотом. В таблице I приведены сравнительные результаты испытаний на микротвердость обработанных и необработанных боров.

Таблица I
Микротвердость стоматологических боров

Бор	Обработка	Микротвердость, кг/мм ²
Стальной	необработанный	700
"	имплантация N^+	1200
"	имплантация $A^+ N^-$	1800
"	покрытие TiN	2200
твердосплавный	необработанный	1600

Как видно из таблицы I, наибольшая микротвердость получена на борах с покрытием из TiN почти в 3 раза выше, чем на исходных, но ионная имплантация золота с предварительной активацией поверхности повышает поверхностную микротвердость в 2,5 раза.

Помимо поверхностной твердости, важным аспектом эксплуатационной надежности является напряженно-деформированное состояние проповерхностных слоев. Метод микротвердости позволяет оценивать степень остаточных напряжений в проповерхностной области как измерением на косых шлифах, так и путем изменения нагрузки на индентор при измерении поверхностной микротвердости /14/. На рис. 2 приведена зависимость прироста микротвердости от нагрузки на индентор $\Delta H_n - H_n$ (H_n – микротвердость имплантированного образца) или то же от глубины внедрения в металла индентора, а на рис. 3 – зависимость микротвердости по глубине образца, измеренное при постоянной нагрузке на индентор ($P=25$ г).

на косых шлифах.

Анализ приведенных зависимостей показывает, что ионная имплантация приводит к значительному упрочнению поверхности микротвердости, даже по глубине образца происходит плавное снижение микротвердости золота до твердости необработанного образца. В то же время для боров с покрытием из нитрида титана наблюдается после высокой проповерхностной микротвердости снижение микротвердости по глубине, даже ниже, чем микротвердость необработанного бора. Это снижение связано с технологией осаждения нитридных покрытий вакуумно-дуговым способом, при которой происходит иногда значительный нагрев поверхности и, следовательно, отпуск металла в проповерхностной области.

2.2. Износостойкость

Испытания на износостойкость проводились путем сверления стальной пластиной стоматологическими борами при фиксированной нагрузке ($P=1$ кгс). При этом износ определялся сверлением толстой пластины борами в течение 10 сек, измерением потери массы бора и измерением глубины просверленного отверстия.

Дозовые и энергетические зависимости износостойкости имплантированных боров показали, что с ростом энергии ионов и дозы облучения износостойкость боров возрастает, но уже с $E=60$ кэВ и $D=5 \cdot 10^{17} \text{ см}^{-2}$ наблюдается снижение износостойкости.

Приведенные в таблице 2 параметры износа ($V = \Delta M / \Sigma t \cdot P$, где ΔM – потеря массы бора, Σt – площадь поверхности бора, P – время сверления, P – нагрузка) показывают, что имплантированные боры обладают в 2-3 раза лучшей износостойкостью, чем необработанные стальные боры. Нанесение нитридного покрытия вызывает существенное снижение (~ в 3 раза) износостойкости стальных боров по сравнению с необработанными, несмотря на высокую поверхностную твердость. Как видно из таблицы 2, ионная имплантация существенно упрочняет поверхность стальных боров, приближая их стойкость к истиранию к твердосплавным борам. Увеличение

- 8 -

Таблица 2
Параметр износа стоматологических боров V

Бор	Обработка	ΔM , г	Глубина отверстия, мм	$V, \text{мм}^{-2}$
Стальной	Необработанный	0,22	0,19	19,8
"	Имплантационный	0,07	0,24	7,8
"	Покрытие TiN	0,60	0,12	55,8
Твердосплавный	Необработанный	0,04	0,29	3,1

ние глубины просверленного имплантированным бором отверстия по сравнению с неимплантированным указывает на улучшение режущей способности рабочей части бора.

Далее были проведены исследования режущей способности боров в зависимости от формы рабочей части бора (рис. 1) путем сечения тонкой стальной пластиной ($h=0,3$ мм) до полного отката боров. Как видно из таблицы 3, ионная имплантация в 1,5-2,5 раз повышает долговечность стальных боров в зависимости от конфигурации режущей части.

Таблица 3
Количество просверленных отверстий в стальной пластине для различных боров

Бор	Обработка	Конфигурация боров		
		Шароид-	Фиссурий-	Колесо-вид-
Стальной	Необработанный	10	22	6
"	Имплантационный	25	35	16
"	Покрытие TiN	8	16	4
Твердосплавный	Необработанный	42	45	21

- 9 -

Полученные результаты испытаний показывают, что наложение покрытий из нитрида титана снижает как износостойкость, так и долговечность боров. Помимо поверхностной твердости на износостойкость изделий большое влияние оказывает степень шероховатости поверхности, участвующей в трении, разрезании; снижение шероховатости, уменьшение высоты неровностей соответственно повышает износостойкость трущихся поверхностей. Профилограммы, приведенные на рис. 4, снятые с поверхности необработанного имплантированного бора и с бора, покрытого нитриком титана, показывают, что ионное облучение существенно снижает поверхностную шероховатость боров, тогда как при наложении нитридного покрытия наблюдается рост шероховатостей.

2.3. Коррозионная стойкость

Свойства имплантированных боров к коррозии изучались путем определения величины коррозионного тока при потentiостатических испытаниях в ИА НСГ. Исследования показали, что стойкость поверхности стальных боров, подвергнутых имплантации ионами чистого золота, в 10-20 раз выше необработанных боров. А имплантация азота после активации поверхности боров ионами аргона повышает коррозионную стойкость в 5-8 раз.

3. Клинико-функциональные характеристики модифицированных боров

Исследования износостойкости имплантированных боров путем сверления стальной пластины показали их долговечность. В клинических испытаниях нами была исследована работа сплошности боров на съемку удаленных зубах, при этом нагрузка на бор всегда поддерживалась постоянной ($P=0,5$ кг). Как видно из таблицы 4, с увеличением времени препарирования количество удаляемой эмали снижается в 6-8 раз при использовании необработанных стальных боров, тогда как ионная имплантация приводит к снижению количества удаленной эмали в 1,5 раза с началом испытаний, что увеличивает производительность боров в 2-3 раза по сравнению с не-

- 10 -



Рис. 4. Профилограммы поверхностей боров:
а) необработанный;
б) имплантированный;
в) с покрытием TiN.



Рис. 5. Профилограммы поверхности твердой ткани зуба,
препарированной а) имплантированным и
б) неимплантированным борами.

- II -

Таблица 4

Количество удаленной эмали зуба (мг) различными борами в зависимости от времени изпитания (давление Р=0,5 кг, скорость вращения $\vartheta = 3000$ об/мин)

Бор	Обработка	60 сек	120 сек	180 сек
Стальной	Необработанный	2,7±0,26	1,3±0,13	0,44±0,06
"	Имплантированный	3,4±0,21	2,9±0,16	2,0±0,14
Твердошлифованный	Необработанный	6,5±0,23	7,1±0,33	4,4±0,35

облученными стальными борами.

Следует также обратить внимание на то, что с повышением твердости бора повышается и количество удаленной эмали зуба. Так, на третьей минуте препарирования количество удаленной эмали имплантированным бором всего в 2 раза меньше, чем для твердошлифованного стального бора, и почти в 5 раз больше, чем для необработанного стального бора.

Весьма важной характеристикой поверхности препарированного зуба является степень обшероховатости, которая имеет существенное влияние на качество прилегания пломбы, так и на возникновение в дальнейшем на местах скола или трещин, аррозии зубной эмали. Наличие неровностей, выступов и трещин непосредственно связаны с растущей способностью боров. С притуплением боров, износом их режущей части качество обработки поверхности зубов снижается. Представленные на рис. 5 профилограммы поверхности зуба, подвергнутой обработке стальным необлученным бором (кривая а) и стальным имплантированным бором (кривая б), показывают, что модифицированные боры позволяют более качественно обрабатывать поверхность зуба. Снижение шероховатости инструмента, повышение его твердости таким образом существенно снижают шероховатость обрабатываемой зубной поверхности, и, следовательно, можно ожидать снижения травматического воздействия при обработке твердой ткани зуба за счет умень-

- 12 -

шения взаимодействия шероховатостей поверхности боров с поверхностью зуба; не происходит измельчения, среза твердой ткани и, как следствие этого, уменьшается трещинообразование. Если для необработанных стальных боров наблюдается образование широких и длинных трещин, то при использовании имплантированных боров обнаруживаются узкие и короткие трещины.

Поскольку при препарировании происходит трение бора о твердую ткань зуба, то это вызывает об нагреве, что оказывает также травматическое воздействие на пациентка. Снижение шероховатости бора должно вызывать соответственно снижение нагрева зуба за счёт уменьшения коэффициента трения. Нами была измерена температура зуба в процессе депарирования специальными датчиками температуры. Результаты измерений температуры зуба (таблица 5) при их обработке показали, что имплантированные боры снижают нагрев зуба в 1,5 раза по сравнению с неимплантированными стальными борами. При этом температура зуба поглощается за 120 сек препарирования в 5 раз от первоначальной, тогда

Таблица 5

Изменение температуры $\Delta T^{\circ}\text{C}$ твердой ткани зуба от времени препарирования ($P=0,5$ кг, $\vartheta = 3000$ об/мин)

Бор	Обработка	10 сек	30 сек	60 сек	120 сек
Стальной	Необработанный	3,3±0,2	6,9±0,2	11,8±0,3	21,8±0,3
"	Имплантированный	2,7±0,2	5,6±0,3	8,2±0,3	13,7±0,2
Твердошлифованный	Необработанный	1,2±0,1	3,2±0,2	5,3±0,3	8,9±0,3

как для необлученного бора - в 7-8 раз. Динамика изменения температуры твердой ткани зуба от вида бора со временем его препарирования представлена на рис. 6.

Таким образом, использование имплантированных боров

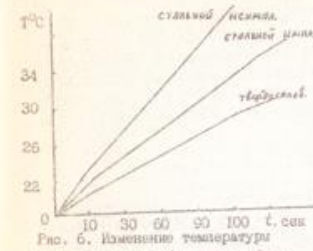


Рис. 6. Изменение температуры твердой ткани зуба от вида бора.

снижают механическую деформацию и нагрев поверхности зуба, то есть снижают степень остаточных напряжений в твердой ткани зуба и тем самым снижаются вероятность образования трещин эмали зуба, что особенно важно при препарировании.

Снижение деформируемости твердой ткани снижает формирование наризных полостей, что можно определить по измерению электрочувствительности зубов (таблица 6). При работе с обычной

Таблица 6

Показатели электрочувствительных зубов

Бор	Показатели электрометрии		
	Ток до препарирования	Ток после препарирования	изменение
Стальной имплантированный	6,59±0,3	8,43±0,3	1,89±0,2
Стальной необработанный	7,31±0,3	1,07±0,4	3,43±0,3

стальными борами среднее увеличение электрочувствительности составляет 3,43 мА у 42,6% количества обследованных зубов, а при работе с имплантированными борами среднее увеличение электрочувствительности 1,9 мА у 10% обследованных зубов.

Особенности микроструктуры препарированной стеки зуба (наличие трещин, различных дефектов эмали) отражаются

- 14 -

на краевой прокладки пломбы, то есть на герметичности за-
крытия полости зуба. Исследования краевой проницаемости
границы зуб-пломба методом элекрометрии /15/ показали,
что полости, обработанные имплантационными борами, имеют
хорошее прилегание пломбировочного материала, благодаря
чему краевая проницаемость снижается с 3,2 мк при обрабо-
тке обычными стальными борами до 3,7 мк, то есть ~ в 1,5
раза.

Заключение

Проведенные исследования показывают, что применение
метода ионной имплантации золота с предварительной активацией
поверхности ионами аргона позволяет в 2,2-3 раза по-
вышенному микротвердость, в 3-4 раза износостойкость
стальных стоматологических боров. Эти исследования указы-
вают на существенное улучшение упрочнения боров в ре-
зультате ионной имплантации. При этом ионизующую роль
игают радиационные процессы, участвующие в управлении /11/,
поскольку проходят поверхности активации бора
ионами аргона. Так, увлажнение микротвердости поверхности
бора после активации её ионами аргона в 1,5 раза выше,
чем у боров, имплантированных только ионами золота. К таким
процессам с большой вероятностью могут относиться радиационно-
стимулирующее диффузию и фазообразование, а также про-
цессы, влияющие на повышение активности поверхности, уве-
личивающие её коррозионную бинкость по отношению к золоту.

В результате ионного упрочнения было получено сущес-
твенное улучшение функциональных свойств стоматологических
боров их долговечность возрастает в 1,5-2,0 раза, обеспечи-
вается более качественное прилегание пломбировочного ма-
териала, снижается деформируемость твердой ткани зуба в
2-3 раза, уменьшается вероятность образования трещин и ка-
риесных полостей.

Все вышесказанное обуславливает улучшение качества
стоматологического обслуживания населения, повышает произ-
водительность труда врача-стоматолога, снижает потребление
стальных и твердосплавных боров.

- 15 -

ЛИТЕРАТУРА

1. Панников И.В./Вопросы науки и техники. М. 1969,
в. 3. С. 247
2. Sivashin R. // Китт. Зап. № 16. 1929. № 37/52. Р. 447
3. Stroobek C. // Ж. иссл. 1929. № 13. Р. 15
4. Душандилов Д.Н./Теория и практика в ортопедической
стоматологии. 1967. С. 293.
5. Омчаренко А.Н./Проблемы ортопедической стоматологии.
1969. в. 3. С. II.
6. Инициял имплантации/Под ред. Д.К.Хирсонена. М.: Метал-
лургия. 1965. 382 с.
7. Гусева М.И./Поверхность. 1962. № 4. С. 49.
8. Конная имплантация и лучевая технология/Под ред.
Вылькова и Ноута Д.М. Киев. Наукова Думка. 1988.
360 с.
9. Lu Resso S., Nagelb R., Bostick J., Chang G.L // Appl. Phys. Lett.
1983. v. 39. P. 657
10. Раджабов Р.Т., Тегалиев Ф.К. // J. Vac. Sci. Techn. 1987.
A6(4). P. 1340.
11. Раджабов Т.Д., Багдасарян А.С./Поверхность. 1986.
№ 11. С. 104.
12. Li K.T., Lin K.Z., Chang D.C. // Nucl. Inst. Meth. 1981.
v. 242/243. P. 915
13. Radjabov R. B. // J. Phys. & Appl. Phys. 1985.
v. 18. P. 531.
14. Бочвар А.А./Микротвердость. Труды совещания по микро-
тврдости. М.: АН ССР. 1951. С. 57.
15. Леонтьев В.К., Иванов А.И., Иванова Г.Г//Изобретатель-
ство и радионанализаторство в медицине. Омск. 1988.
С.17-18.

- 16 -

Препринт № 33

Т.Д.Раджабов, С.А.Зуфаров, А.С.Багдасарян,
Р.И.Нигматов, Л.И.Хасанова

ИЗУЧЕНИЕ МЕХАНИЧЕСКИХ И ФУНКЦИОНАЛЬНЫХ СВОЙСТВ СТАЛЬНЫХ
СТОМАТОЛОГИЧЕСКИХ БОРОВ КОННОЙ ИМПЛАНТАЦИИ

Ответственный за выпуск В.Х.Ферлегер
Редактор Г.В.Васильченко

Дата сдачи в производство 22.11.1990 г.
Подписано в печать 19.06.86. Р-05873. Формат 60 80 1/16.
Печать офсетная. Усл.п.л. 0,93. Уч.-изд.л. 0,7.
Тираж 100. Заказ № 1724. Цена 12 коп.

Отпечатано на ротапринте в типографии "ФАН"
АН УзССР, г. Ташкент, 700125, ул. Горького, 79.